

1. C'est un champ scalaire surfacique discrète

↓
une seule donnée : z

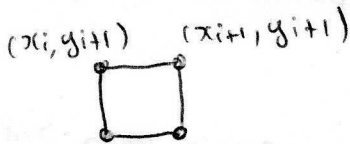
↓
on dépend de
2 variables
(x, y)

↳ on a des points discrets (x_i, y_i)

$$z = f(x, y)$$

(voir cours intro Visualisation + cours 1)

2. On peut rapidement former une structure en quads avec ces coordonnées paramétrés par (x_i, y_i)



(voir TP. 7)

(x_i, y_i) (x_{i+1}, y_i)

structures de données :
vector <double> vertex
connectivity <int> connectivity

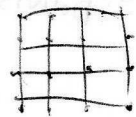
construction de la connectivité →

Pour $R_x = 0 \dots N_x - 1$

Pour $R_y = 0 \dots N_y - 1$

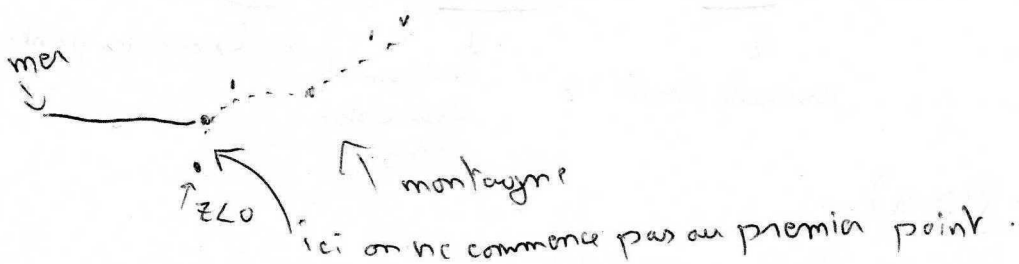
connectivity ← $[R_x + N_x R_y, R_x + 1 + N_x R_y, R_x + 1 + N_x (R_y + 1), R_x + N_x (R_y + 1)]$

3. B-spline est possible car on a une structure en grille régulière
⇒ on peut définir des patches paramétriques
(voir cours spline + révisions)



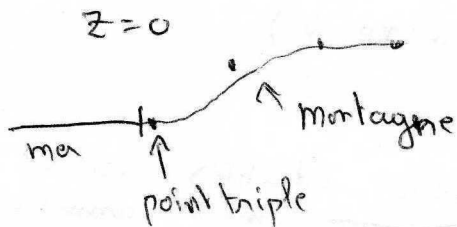
Avantage : montagnes russes avec raccord C^2

- Bezier : Peu d'intérêt = Les raccords seront difficiles à réaliser ou bien il faut considérer 16 les points de un même patch (degré trop élevé)
- Edition Hierarchy : Tout à fait possible et approprié par B-spline !
↳ le contrôle est local.



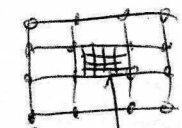
inconvenient : - IP faut calculer analytiquement ce z
 - On aura une discontinuité de normale.

- Possibilité 2 : On double voire triple les points du bord et on fixe



(voir cours Splines + exo personnel)

5. On va considérer des B-splines classiques au degré 3. (patch 4×4)

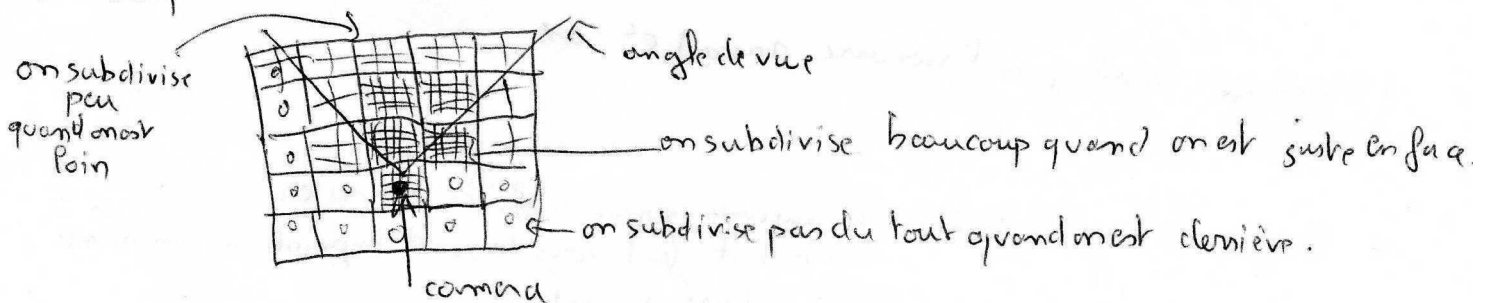


patch les points sont

On subdivisera donc toutes les "quads" sauf ceux du bord par $M_x \times M_y$ sommets.

on a donc au total $(M_x - 2)(M_y - 2) M_x M_y$ points.

6. On peut subdiviser chaque patch indépendamment grâce aux splines.



\Rightarrow Pour cela, on compare la position de la caméra au bord centre de chaque patch par exemple.

rem. si $M \in$ matrice caméra
 $p \in$ position du centre d'un patch.

$M \cdot p = \tilde{p}$ position du patch dans la vu 2D (\tilde{z} nous donne la profondeur).

(voir TP.6)

$$z = z_2 - c_2$$

$$z = z_1 - c_1$$

$$z = 0 - c_0$$

z quelconque. \Rightarrow il suffit d'interpoler la couleur par rapport à z .

Par exemple, on peut faire une interpolation linéaire.

$$z \in [0, z_1] \quad C(z) = \alpha_1 C_1 + (1 - \alpha_1) C_2$$

$$\alpha_1 = z/z_1$$

(voir TP 7 interpolation de couleurs)

$$z \in [z_1, z_2] \quad C(z) = \alpha_2 C_2 + (1 - \alpha_2) C_1$$

$$\alpha_2 = \frac{z - z_1}{z_2 - z_1}$$

\uparrow
composante à composante

Rem: on pourrait faire du ~~ordre~~ degré 2 pour éviter la discontinuité de dérivé.

8. Pour appliquer les couleurs partout, il suffit d'utiliser la même interpolation que pour l'altitude z , mais sur les couleurs composante à composante:

$$[R \ G \ B]^{(u,v)} = \sum_i \sum_j b_i(u) b_j(v) C_{ij}(u,v)$$

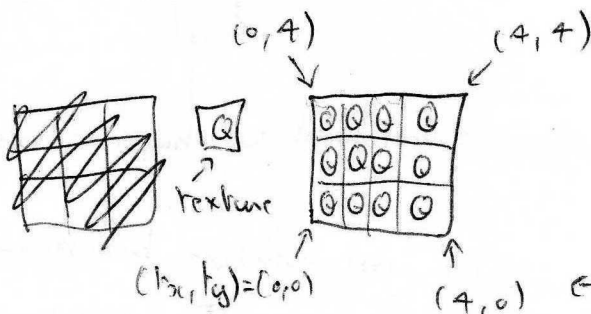
$$[R_i \ G_i \ B_i]$$

(voir cours Splines)

9. La 2nd méthode semble mieux respecter les données.

- cependant attention à l'interpolation sur les couleurs! on va voir l'apparition de fausses couleurs.

10.



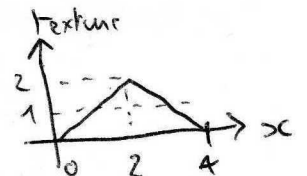
(voir TP 7)

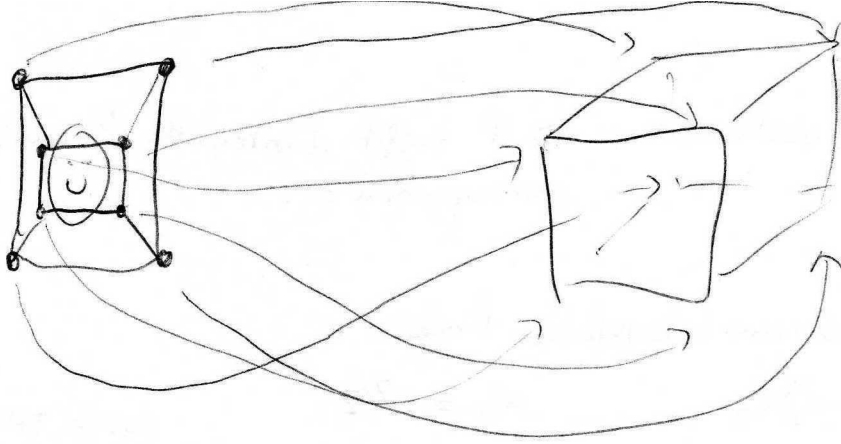
$(x_u, t_y) = (0,0)$ $(4,0)$ \leftarrow ici on va répéter 4 fois la texture

Attention au raccrolement en passant d'un patch à l'autre (on va passer de $(4,0)$ à $(0,0)$ d'un coup sur le patch suivant).

\Rightarrow solution: - duplication du sommet, et cassure dans la connectivité \Rightarrow OpenGL n'interpolera pas.

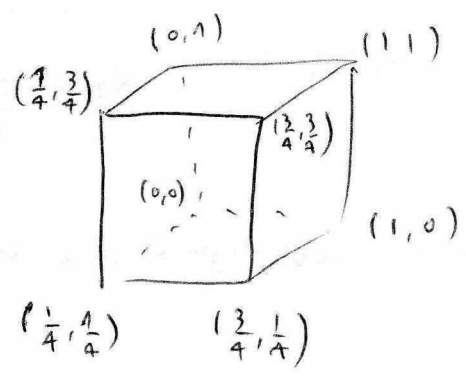
- utiliser une fonction périodique. Par ex



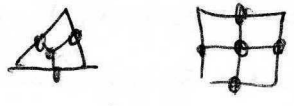


voir TP. 7

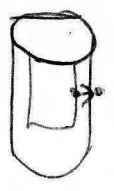
Les coordonnées sont ici



12. Subdivision de face simple



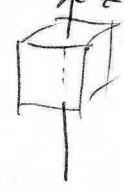
=> on projete les nouveaux points sur le cylindre



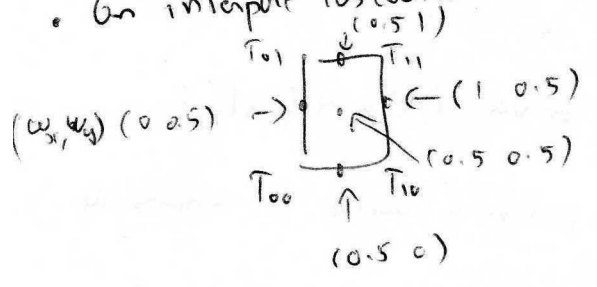
(TP. 5)

$$\text{avec } (x', y', z') = \frac{(x, y, z)}{\sqrt{x^2 + y^2}} \times R$$

Si on part d'un cube centré et de hauteur h le long de l'axe z



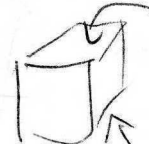
On interpole les coordonnées de textures directement sur chaque quads par exemple



-> ici interpolation bilinéaire. (TP. 7 + TP. 8)

$$T = w_x w_y T_{11} + (1-w_x) w_y T_{01} + w_x (1-w_y) T_{10} + (1-w_x)(1-w_y) T_{00}$$

On différencie les coordonnées à ne pas projeter par manque par exemple on ne projetera pas les points à l'intérieur de cette face.



ni ici

$$N_f(k) = 4^k \cdot N_{f_0} = 4^k \cdot 6 \quad (\text{TPB})$$

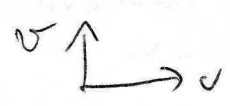
Nombre d'arêtes = $\frac{4}{2} (6 \cdot 4^k) = 2 \times (6 \cdot 4^k)$

\nwarrow 4 arêtes par faces
 \nearrow chaque arête est partagée par 2 faces.

Nombre de Sommets $\Rightarrow 6 \cdot 4^k - 2 \cdot (6 \cdot 4^k) + 1 = 2$ \nwarrow pas de trous.

$\Rightarrow S = 2 + 6 \cdot 4^k.$

13. B-spline pas possible, on a pas une structure paramétrique



(Tous spline + subdivision + révision)

\rightarrow on peut utiliser CatmullClark par exemple.

14. Vertex $\langle \rangle$

connectivity	\langle	1 2 3		4 5 6 7		8 9 10 11 12 13 14		15 16 17 18 19 20 21 22		23 24 25 26 27 28 29 30	\rangle
size-poly	\langle	0	3	7	14	\rangle	(TP)				
access-poly	\langle	3	4	7	3	\rangle					

\hookrightarrow on accède par : vertex $[3 \text{ connectivity} [\text{access-poly} [p] + s] + k\text{-dim}]$

\uparrow 0 pour x
 \uparrow 1 pour y
 \uparrow 2 pour z.

15: A la seconde subdivision:

$$N_{f_2} = N_{s1} N_f + N_{e \text{ edge}} \quad \leftarrow \text{donné par deo-Sabin.}$$

\uparrow \uparrow
 sommet face

on $N_{f_2} \cdot N_{e_2} + N_{s_2} = 2 \Rightarrow N_{s_2} = N_f - 2$ car $N_{e_2} = \frac{4}{2} N_{s_2}$

Après on augmente le nombre de sommet par 4 à chaque étapes... (~~sommet~~ adjacente de 4).

16. IP faut utiliser Butterfly car on doit interpoler les sommets.
 (on ne peut pas les déplacer ici!) (cours subdi + révision)

17. Ici c'est un champ vectorel volumique discret.
 $\hookrightarrow (v_x, v_y, v_z) \hookrightarrow$ dépend de (x, y, z)

$$\vec{v} = f(\vec{x})$$

\uparrow \uparrow
 (v_x, v_y, v_z) (x, y, z)

(cours visualisation)

18. On peut faire un rendu volumique. Par exemple MIP.
 (cours Rendu Volumique)

Mieux: on altère beaucoup pour $\|v\| > v_0$
 et pas pour $\|v\| < v_0$

\Rightarrow on travaille sur le champ scalaire $\|v\|$

19: On a 4 sommets = 16 possibilités... (voir marching cube)

